

格子状構造物の衝撃荷重による変形

名古屋大学工学部 松岡理〇八番 夏季子

のあたりでも 最高精度をもつオーディオは不变であると、この車を物理的境界から連続体運動方程式の妥当性及び各断面算上精度の検討する方法と、この2つの方法をもつてある。これは基礎力学の用い子車による誤差の検討であり、今後改めて適当な各断面をもつてある。通常運動方程式は以下である。回転速度は正方形で示してあるが、車両では車両方向で示す。

3.2 運動方程式及び構成方程式

各節点間での剛体正弦法は、丁度差分表示し、それ等を微分系に移行する事により連続体としてある。その詳論は省略する。文献中に詳しい。x方向部材間隔 断面積 断面二次モーメント、ヤング率及 E_1, A_1, I_1, E_2, I_2 とし、y方向のそれ等は E_2, A_2, I_2, E_3, I_3 と方向変形成分 u 、y方向変形成分 v 回転を θ とすると

$$E_1 A_1 l_1 \frac{\partial^2 u}{\partial x^2} + (12E_2 I_2 / l_2^2) (\partial^2 u / \partial y^2 - \partial \theta / \partial y) l_2 = (P_1 l_1) \ddot{u} \quad (1-1)$$

$$E_2 A_2 l_2 \frac{\partial^2 v}{\partial y^2} - (12E_1 I_1 / l_1^2) (\partial^2 v / \partial x^2 - \partial \theta / \partial x) l_1 = (P_2 l_2) \ddot{v} \quad (1-2)$$

$$E_1 I_1 \frac{\partial^2 \theta}{\partial x^2} + E_2 I_2 \frac{\partial^2 \theta}{\partial y^2} - (12E_1 I_1 / l_1^2) (\partial^2 v / \partial x^2 + \theta) + (12E_2 I_2 / l_2^2) (\partial u / \partial y + \theta) = (I_1^2 P_1 l_1) \ddot{\theta} \quad (1-3)$$

$$\text{構成式 } N_x = E_1 A_1 \partial u / \partial x \quad H_z = (12E_1 I_1 / l_1^2) (\theta + \partial v / \partial z) \quad M_z = E_1 I_1 \partial \theta / \partial x \quad (2-1)$$

$$N_y = E_2 A_2 \partial v / \partial y \quad H_y = (12E_2 I_2 / l_2^2) (-\theta + \partial u / \partial y) \quad M_y = E_2 I_2 \partial \theta / \partial y \quad (2-2)$$

(P_1, l_1) 単位格子の質量 (P_2, l_2) 単位格子の回転慣性 各方向材の単位長さあたりの質量と P_1 とすると $(P_1, l_1) = P_1 l_1$, $(P_2, l_2) = P_2 l_2$ 各節点が等しく回転すると、この条件下で $(P_1^2 l_1^2 l_2) = (P_1^2 l_1^2 + P_2^2 l_2^2) / (4480)$ となる値をもつ。

3.3 解法と解 図(1)に示してある通り $y=0$ の境界では y 方向部材中央車となる。境界で全ての部材は $[I] = P_1 S(t)$ の鉛直荷重力が作用する時 $[F] = -M S(t)$ の水平力 $-M S(t)$ の曲げモーメントの各断面積が作用する時 $[I]$ (1) 式の各式から変形、直線形から N を消去し $C^2 \partial^2 N / \partial y^2 = \eta^2$ (3-1) $C = E_2 A_2 l_2 / (P_2 l_2)$ C は直線の伝播速度 初期条件 $\eta(y, 0) = \eta'(y, 0) = 0$ 境界条件は $E_2 A_2 \partial \eta / \partial y = -P_2 S(t)$ $t < 0$ の時 $N = P_2 \eta / (E_2 A_2 (P_2 l_2))$ $t > 0$ $N = 0$ (3-2)

$$\text{四 水平曲げ荷重時 } C^2 (\partial^2 u / \partial y^2 - \partial \theta / \partial y) = \ddot{u} \quad (3-3) \quad C^2 \partial (\partial^2 u / \partial y^2) / \partial y = (l_2 / l_1) (\theta + (l_2 / l_1) \partial u / \partial y) = \ddot{\theta} \quad (3-4)$$

$= z^2 \cdot \lambda = (l_2 / E_2 I_2) / (l_1 / E_1 I_1) \quad \beta^2 = l_2^2 / l_1^2 \quad C^2 = 12E_2 I_2 / (P_2 l_2) l_2 \quad C_1 \text{ と } C_1 \beta \text{ は } \square \text{ と曲げモーメントの伝播速度である。} B > 1 \text{ の時 曲げモーメントの速度は剪断のそれより大。} (3-3) (3-4) \text{ を計算の便の為無次元化す。}$

$$\partial^2 \eta / \partial y^2 - \partial \theta / \partial y = \partial^2 \eta / \partial t^2 \quad (3-5) \quad \beta^2 \partial^2 \eta / \partial y^2 - 12(l_1 / l_2) \theta + 12 \partial \theta / \partial y = \partial^2 \eta / \partial t^2 \quad (3-6) \quad \theta = l_1 \eta \quad t = l_1 / C, \quad y = l_2 \eta$$

初期条件は変位、加速度共に零の場合と変位は同じで加速度が存在する場合の2種類計2種類。

$$D(\eta, 0) = 20\% \quad D(\eta, 0) = 0 \quad (3-7) \quad 2D(\eta, 0) = 0 \quad 2D(\eta, 0) / \partial t = \dot{\eta}_0 \quad \theta(\eta, 0) = 0 \Rightarrow \theta(\eta, 0) / \partial t = \dot{\theta}_0 \quad (3-8) \quad \text{境界条件} (12E_1 I_1 / l_1^2) (20\% / \eta - \theta)_{\eta=0} = -G S(t) \quad (E_2 I_2 / l_2) (20\% / \eta - \theta)_{\eta=0} = -M S(t) \quad (3-9) \quad D, \theta \text{ は } t < 0 \text{ の時 } \eta \text{ が } 0 \text{ から } 1 \text{ へ変換を行なう。} \int_0^\infty e^{-st} D(\eta, t) dt = \Delta D(s) \quad \int_0^\infty e^{-st} \theta(\eta, t) dt = \Theta(s) \quad (3-5) \quad (3-6) \text{ は繰り返す。} \int_0^\infty e^{-st} \eta^2 d\eta = \Delta \eta(s) \quad \int_0^\infty e^{-st} \theta^2 d\eta = \Theta(s) \quad (3-10) \quad \int_0^\infty e^{-st} \eta^2 d\eta = \Delta \eta(s) \quad \int_0^\infty e^{-st} \theta^2 d\eta = \Theta(s) \quad (3-11)$$

$$\text{初期条件 (3-7) } \text{を演算すると } \left\{ \beta^2 \frac{d^2 \eta}{dt^2} - 12 \beta^2 \frac{d^2 \theta}{dt^2} - S^2 \frac{d^2 \lambda}{dt^2} + 12 \beta^2 (1 + \alpha) S^2 + S^4 \right\} \left[\begin{array}{l} \Delta \\ \Theta \end{array} \right] = 0 \quad (3-12)$$

$$\Lambda_1 = l_2 \beta^{-1} \left[\left\{ 12 \beta^2 \alpha + (1 + \beta^2) S^2 \right\} \left[\begin{array}{l} \Delta \\ \Theta \end{array} \right] - 4 \beta^2 S^2 \left\{ 12 \beta^2 (1 + \alpha) + S^2 \right\} \right]^{1/2} \quad (3-13)$$

後のためには $\beta > 1 \text{ なら } (\lambda_1 \rightarrow S \beta^{-1}) \quad \beta < 1 \text{ なら } (\lambda_1 \rightarrow S \beta^{-1}) \quad \lambda_1 \rightarrow S \beta^{-1}$ 初期条件 (3-8) に対する (3-13) 式は

$$\left\{ \beta^2 \frac{d^2 \eta}{dt^2} - 12 \beta^2 \frac{d^2 \theta}{dt^2} - S^2 \frac{d^2 \lambda}{dt^2} + 12 \beta^2 (1 + \alpha) S^2 + S^4 \right\} \left[\begin{array}{l} \Delta \\ \Theta \end{array} \right] - 12 \beta^2 (1 + \alpha) S^2 \Delta = 0 \quad \dot{\eta} + \alpha \eta = \text{初期条件式} \quad (3-14)$$

$$\Delta = A_1 e^{-\lambda_1 t} + A_2 e^{-\lambda_2 t} \quad \Theta = B_1 e^{-\lambda_1 t} + B_2 e^{-\lambda_2 t} \quad \text{境界条件 } \theta \text{ を満たす } \lambda_1, \lambda_2 \text{ を求める。} \quad (3-15)$$

$$B_1 = (l_1 \cdot \alpha / 12E_1 I_1) \lambda_1 (S^2 - \lambda_1^2) [S^2 (\lambda_1 - \lambda_2) (\lambda_1^2 + \lambda_1 \lambda_2 + \lambda_2^2 - S^2)]^{-1} - (l_1 M / E_1 I_1) (S^2 - \lambda_1^2) [(\lambda_1^2 + \lambda_1 \lambda_2 + \lambda_2^2 - S^2)]$$

$$B_2 = \left(l_2 M / E_2 I_2 \right) \left(S^2 \lambda_2^2 \right) \left\{ \left(\lambda_1 - \lambda_2 \right) \left(\lambda_1^2 + \lambda_1 \lambda_2 + \lambda_2^2 - S^2 \right) - \left(l_1^2 Q / 12 E_2 I_2 \right) \lambda_1 \left(S^2 - \lambda_2^2 \right) \left(S^2 \lambda_2^2 \right) \left\{ S^2 \left(\lambda_1 - \lambda_2 \right) \left(\lambda_1^2 + \lambda_1 \lambda_2 + \lambda_2^2 - S^2 \right) \right\} \right\}^{-1} \quad (3-15)$$

$$2(B-B') \text{に対するものは } B'_1 = B_1 - \varepsilon_B \lambda_2(S^2 \lambda_1^2)(S^2 \lambda_2^2) \left\{ [(2B^2 + (A+B)S^2) S^2(\lambda_1 - \lambda_2)(\lambda_1^2 + \lambda_1 \lambda_2 + \lambda_2^2 - S^2)^{-1} \right. \\ \left. A, B \text{の対称性より} \right\}$$

$$B_1' = B_2 + \epsilon_{\theta} \lambda_1 (S^2 - \lambda_1^2) (S^2 - \lambda_2^2) \left[(2\beta_1^2 + \epsilon_{\theta}) + S^2 \right] S^2 (\lambda_1 - \lambda_2) (\lambda_1^2 + \lambda_1 \lambda_2 + \lambda_2^2 - S^2) \lambda_1^{-1} \quad (3-16)$$

結局求めらる θ は以下のようには.

$$U = \frac{1}{2\pi\lambda E I_2} \left[\int_{\lambda_1}^{\lambda_2} \frac{\lambda_1 \lambda_2 (S_2 - \lambda_2^2) e^{-\lambda_1^2 + \lambda_2^2}}{S^2(\lambda_1 \lambda_2)(\lambda_1^2 + \lambda_1 \lambda_2 + \lambda_2^2 - S^2)} d\lambda_1 - \int_{\lambda_1}^{\lambda_2} \frac{\lambda_1 \lambda_2 (S_2 - \lambda_1^2) e^{-\lambda_1^2 + \lambda_2^2}}{S^2(\lambda_1 \lambda_2)(\lambda_1^2 + \lambda_1 \lambda_2 + \lambda_2^2 - S^2)} d\lambda_1 \right] + \frac{1}{2\pi\lambda E I_2} \left[\int_{\lambda_1}^{\lambda_2} \frac{\lambda_1 e^{-\lambda_1^2 + \lambda_2^2}}{(\lambda_1 - \lambda_2)(\lambda_1^2 + \lambda_1 \lambda_2 + \lambda_2^2 - S^2)} d\lambda_1 + \int_{\lambda_1}^{\lambda_2} \frac{\lambda_2 e^{-\lambda_1^2 + \lambda_2^2}}{(\lambda_1 - \lambda_2)(\lambda_1^2 + \lambda_1 \lambda_2 + \lambda_2^2 - S^2)} d\lambda_1 \right]$$

$$\Theta = \frac{1}{2\pi i} \frac{\partial z Q}{(EzI_2)} \left\{ \int \frac{\lambda_1(S^2 - \lambda_1^2)(S^2 - \lambda_2^2) e^{\lambda_1 S^2 + \lambda_1 t}}{S^2(\lambda_1 - \lambda_2)(\lambda_1^2 + \lambda_1 \lambda_2 + \lambda_2^2 - S^2)} dS - \int \frac{\lambda_1(S^2 - \lambda_1^2)(S^2 - \lambda_2^2) e^{\lambda_2 S^2 + \lambda_2 t}}{S^2(\lambda_1 - \lambda_2)(\lambda_1^2 + \lambda_1 \lambda_2 + \lambda_2^2 - S^2)} dS \right\} + \frac{1}{2\pi i} \frac{QzM}{EzI_2} \int \frac{(S^2 - \lambda_1^2) e^{\lambda_1 S^2 + \lambda_1 t}}{(\lambda_1 - \lambda_2)(\lambda_1^2 + \lambda_1 \lambda_2 + \lambda_2^2 - S^2)} dS + \int \frac{(S^2 - \lambda_2^2) e^{-\lambda_2 S^2 + \lambda_2 t}}{(\lambda_1 - \lambda_2)(\lambda_1^2 + \lambda_1 \lambda_2 + \lambda_2^2 - S^2)} dS$$

(3-18)

(3-8) 時間 $t = 0$ の初期条件 ψ_0 が ψ の初期値 $\psi(0)$ に現れる。

$$U' = U + \frac{1}{2\pi i} \left\{ \int_{S(\lambda-\lambda_2)}^{\lambda_2} \frac{-\varepsilon_0 \lambda_1 \lambda_2 (S^2 - \lambda_2^2) e^{-\lambda_1 s + \lambda_2 t}}{(S^2(\lambda_1 - \lambda_2)(\lambda_1^2 + \lambda_1 \lambda_2 + \lambda_2^2))((2\beta^2(\text{tr}\alpha) + S^2)^2)} ds + \int_{S^2(\lambda_1 - \lambda_2)}^{\infty} \frac{\varepsilon_0 \lambda_1 \lambda_2 (S^2 - \lambda_2^2) e^{-\lambda_1 s + \lambda_2 t}}{(S^2(\lambda_1 - \lambda_2)(\lambda_1^2 + \lambda_1 \lambda_2 + \lambda_2^2 - S^2)((2\beta^2(\text{tr}\alpha) + S^2)^2)} ds \right\} + \frac{1}{2\pi i} \left(\left\{ \left(\frac{1}{S^2(2\beta^2(\text{tr}\alpha) + S^2)} + \frac{\varepsilon_0}{(2\beta^2(\text{tr}\alpha) + S^2)} \right) \right\}_{S^2} \right) ds$$

(3-19)

$$\Theta' = \Theta + \frac{1}{2\pi i} \left[\int_{S(\lambda_1 - \lambda_2)}^{\infty} \frac{(-\varepsilon b)(S^2 - \lambda_1^2)(S^2 - \lambda_2^2) \lambda_2 e^{-\lambda_2 t+it}}{(S^2(\lambda_1 - \lambda_2)(\lambda_1^2 + \lambda_1 t + \lambda_1^2 - S^2)} ds + \int_{S(\lambda_1 - \lambda_2)}^{\infty} \frac{\varepsilon b(S^2 - \lambda_1^2)(S^2 - \lambda_2^2) \lambda_1 e^{-\lambda_1 t+it}}{S^2(\lambda_1 - \lambda_2)(\lambda_1^2 + \lambda_1 t + \lambda_1^2 - S^2)} ds + \frac{1}{2\pi i} \int_{|z-t|}^{\infty} \frac{\varepsilon b}{|z(t+iz)| + S^2} e^{zt} dz \right] \quad (3-20)$$

(3-17)～(3-20)について $19,20$ の特解を取れば逆変換として2つに簡単に得られていましたがその他の各部分は全く ζ を直積分を用いてなければならぬ。その準備として singular point の抽出を行った。

$$\text{B-13) } E \text{ 対応する } \beta \text{ 及び } \lambda_1 = (\sqrt{\beta})^{-1} \left\{ \frac{1}{2} (1+\beta^2)^{-1} S^2 + [2\beta^2 d^2] \right\}^{\frac{1}{2}} \pm \left\{ \frac{1}{2} (1-\beta^2)^{-1} S^2 + [2\beta^2 ((1-\beta^2)d - 2\beta^2)] / (1-\beta^2) \right\}^{\frac{1}{2}} + \\ \left[(2\beta^2 / (1-\beta^2))^2 + 4\beta^2 \left\{ (1-\beta^2)d - \beta^2 \right\} \right]^{\frac{1}{2}} \right\}^{\frac{1}{2}} \quad (3-21)$$

$$\beta \neq 1 \text{ 时} \quad S = \pm \sqrt{\beta^2 - 1} \left(\frac{\sqrt{\beta^2 - 1} + \alpha}{\beta^2 - 1} \right) \quad (3-23)$$

	$L_1 + l_1 + L_2 + l_2$	$L_3 + l_3 + L_4 + l_4$
A1	$4i \int_{\infty}^{d_2} (\Phi_2 \cosh A \cos B - \Phi_1 \sinh A \sin B) / R_0 dp$	$-4i \int_0^{\infty} \Phi_1 (P^2 S_0^2) / R_0 \cos(\delta_1 \cdot \theta - p t_1) / (P^2 + \beta_1^2) dp$
A2	$4i \int_{\infty}^{d_2} (\Phi_2 \cosh A \cos B - \Phi_1 \sinh A \sin B) / R_0 dp$	$-4i \int_0^{\infty} \Phi_1 (P^2 S_0^2) / R_0 \cosh S_0 \cos(p t_1 + \beta_1 \sinh \delta_1 \sin p t_1) / (P^2 + \beta_1^2) dp$
B1	$4i \int_{\infty}^{d_2} (\Phi_1 \cosh A \sin B - \Phi_2 \sinh A \cos B) / R_1 dp$	$-4i \int_0^{\infty} \delta_1 \beta_1 \sin(\delta_1 \cdot \theta - p t_1) / (P^2 + \beta_1^2) dp$
B2	$4i \int_{\infty}^{d_2} (\Phi_1 \cosh A \sin B - \Phi_2 \sinh A \cos B) / R_1 dp$	$4i \int_0^{\infty} \delta_1 \beta_1 \cosh S_0 \cos(p t_1 + \beta_1 \sinh \delta_1 \sin p t_1) / (P^2 + \beta_1^2) dp$
A3	$-4i \int_{\infty}^{d_2} (\Phi_3 \cosh A \sin B + \Phi_4 \sinh A \cos B) / 4R_2 dp$	$4i \int_0^{\infty} \beta_2 \Phi_2 \sin(\delta_2 \cdot \theta - p t_1) / (P^2 + \beta_2^2) dp$
A4	$-4i \int_{\infty}^{d_2} (\Phi_3 \cosh A \sin B + \Phi_4 \sinh A \cos B) / 4R_2 dp$	$4i \int_0^{\infty} S_1 \Phi_{22} (\beta_2 \sin p t_1 \cosh S_0 \sin p t_1 \sinh S_0) / (P^2 + \beta_2^2) dp$
B3	$4i \int_{\infty}^{d_2} (\Phi_3 \sinh A \sin B + \Phi_4 \cosh A \cos B) / R_3 dp$	$4i \int_0^{\infty} \beta_3 \Phi_{22} \cos(\delta_3 \cdot \theta - p t_1) / (P^2 + \beta_3^2) dp$
B4	$4i \int_{\infty}^{d_2} (\Phi_3 \sinh A \sin B + \Phi_4 \cosh A \cos B) / R_3 dp$	$4i \int_0^{\infty} P \Phi_{44} (\beta_3 \cos p t_1 \cosh S_0 \beta_3 \sin p t_1 \sinh S_0) / (P^2 + \beta_3^2) dp$
$\lambda_1 A_3$	$4i \int_{\infty}^{d_2} (\Phi_5 \sinh A \sin B + \Phi_6 \cosh A \cos B) / 8P_0 R_0 dp$	$-4i \int_0^{\infty} \delta_1 \beta_2 S_0 \Phi_{22} \cos(\delta_1 \cdot \theta - p t_1) / (P^2 + \beta_1^2 + \beta_2^2) dp$
$\lambda_2 A_4$	$4i \int_{\infty}^{d_2} (\Phi_5 \sinh A \sin B + \Phi_6 \cosh A \cos B) / 8P_0 R_0 dp$	$-4i \int_0^{\infty} \delta_1 S_0 \Phi_{22} (\beta_2 \sin p t_1 \sinh S_0 + \beta_2 \cos p t_1 \cosh S_0) / (P^2 + \beta_1^2 + \beta_2^2) dp$
$\lambda_1 B_3$	$4i \int_{\infty}^{d_2} (\Phi_7 \cosh A \sin B + \Phi_8 \sinh A \cos B) / 2R_1 dp$	$-4i \int_0^{\infty} \delta_2 \beta_1 \cos(\delta_2 \cdot \theta - p t_1) / (P^2 + \beta_2^2) dp$
$\lambda_2 B_4$	$4i \int_{\infty}^{d_2} (\Phi_7 \cosh A \sin B + \Phi_8 \sinh A \cos B) / 2R_1 dp$	$4i \int_0^{\infty} \delta_2 \Phi_{44} (\beta_1 \sinh S_0 \cos p t_1 - \beta_1 \cosh S_0 \sin p t_1) / (P^2 + \beta_1^2 + \beta_2^2) dp$
$\lambda_1 A_1$	$4i \int_{\infty}^{d_2} (\Phi_9 \cosh A \sin B - \Phi_8 \sinh A \cos B) / 2P_0 R_0 dp$	$-4i \int_0^{\infty} \delta_1 \beta_1 \sin(\delta_1 \cdot \theta - p t_1) / (P^2 + \beta_1^2) dp$
$\lambda_2 A_2$	$4i \int_{\infty}^{d_2} (\Phi_9 \cosh A \sin B - \Phi_8 \sinh A \cos B) / 2P_0 R_0 dp$	$4i \int_0^{\infty} \delta_2 \Phi_{44} (\beta_1 \sinh S_0 \cos p t_1 + \beta_1 \cosh S_0 \sin p t_1) / (P^2 + \beta_1^2 + \beta_2^2) dp$
$\lambda_1 B_1$	$4i \int_{\infty}^{d_2} (\Phi_7 \sinh A \sin B + \Phi_8 \cosh A \cos B) / 2P_0 R_0 dp$	$4i \int_0^{\infty} S_0^2 \beta_1 \cos(\delta_1 \cdot \theta - p t_1) / (P^2 + \beta_1^2) dp$
$\lambda_2 B_2$	$4i \int_{\infty}^{d_2} (\Phi_7 \sinh A \sin B + \Phi_8 \cosh A \cos B) / 2P_0 R_0 dp$	$-4i \int_0^{\infty} \delta_1^2 \beta_1 (\cosh S_0 \cos p t_1 - \beta_1 \sinh S_0 \sin p t_1) / (P^2 + \beta_1^2) dp$

Fig 1

$$h = 2B(P^2 + d_1^2)^{\frac{1}{2}} \quad j = (1 + \beta_1^2)^{\frac{1}{2}}(P^2 + d_1^2)^{\frac{1}{2}} \quad A = (h + j)^{\frac{1}{2}} \beta_1 / 2\beta - p t_1$$

$$B = \frac{1}{2}(h - j)^{\frac{1}{2}} / 2\beta \quad R_0 = P(h - j)^{\frac{1}{2}}(2j + h) - 2P^2 P^2 \quad \Phi_1 = (P^2 + d_1^2)^{\frac{1}{2}}(h^2 - j^2)^{\frac{1}{2}}$$

$$\Phi_2 = (P^2 + d_1^2)^{\frac{1}{2}}, \quad \Phi_1 = \beta_1^2(h - j)^{\frac{1}{2}} \quad \Phi_2 = \beta_1^2(h + j)^{\frac{1}{2}}$$

$$R_1 = (h - j)^{\frac{1}{2}} \{(2j + h) - 2P^2 P^2\} \quad \Phi_3 = (h - j)^{\frac{1}{2}} \{(2P^2 - j)^2 + (h^2 - j^2)\}$$

$$\Phi_4 = (h^2 - j^2)^{\frac{1}{2}} \{2(P^2 - j)^2 + (h^2 - j^2)\} \quad R_2 = P^2(h - j)^{\frac{1}{2}}(2j + h - 2P^2 P^2)$$

$$\Phi_5 = (h^2 - j^2)^{\frac{1}{2}} \quad \Phi_4 = 2P^2 P^2 - j \quad R_3 = (h - j)^{\frac{1}{2}}(2j + h - 2P^2 P^2)$$

$$\Phi_6 = \{(1 - \beta_1^2)(P^2 + d_1^2)^{\frac{1}{2}}(P^2 + d_1^2)^{\frac{1}{2}} + (1 + \beta_1^2)(P^2 + d_1^2)^{\frac{1}{2}}\} / \sqrt{2\beta}$$

$$\Phi_7 = \{(1 + \beta_1^2)(P^2 + d_1^2)^{\frac{1}{2}}(P^2 + d_1^2)^{\frac{1}{2}} - (1 - \beta_1^2)(P^2 + d_1^2)^{\frac{1}{2}}\} / \sqrt{2\beta}$$

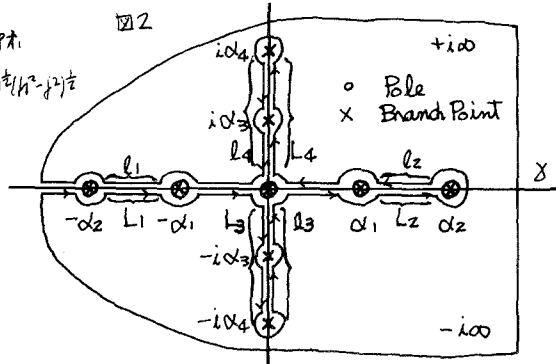
$$\Phi_{11} = \delta_1 S_0, \quad \Phi_{12} = \delta_2 P^2 S_0^2, \quad \Phi_{21} = -\delta_1^2 - \delta_1 P^2, \quad \Phi_{22} = -P^2 S_0^2, \quad \Phi_{33} = -P^2 \delta_1^2, \quad \Phi_{44} = -P^2 S_0^2$$

$$\Phi_5 = (h^2 - j^2)^{\frac{1}{2}} \Phi_3 - (h^2 - j^2)^{\frac{1}{2}} \Phi_3, \quad \Phi_6 = (h + j) \Phi_3 + (h - j) \Phi_3, \quad \Phi_7 = (h + j)^{\frac{1}{2}} \Phi_4 - (h - j)^{\frac{1}{2}} \Phi_4, \quad \Phi_8 = (h + j)^{\frac{1}{2}} \Phi_4 + (h - j)^{\frac{1}{2}} \Phi_4$$

$$\Phi_9 = (h + j)^{\frac{1}{2}} \Phi_1 + (h - j)^{\frac{1}{2}} \Phi_1, \quad \Phi_{10} = (h + j)^{\frac{1}{2}} \Phi_2 - (h - j)^{\frac{1}{2}} \Phi_2, \quad \Phi_{11} = (h + j)^{\frac{1}{2}} \Phi_2 + (h - j)^{\frac{1}{2}} \Phi_2, \quad \Phi_{12} = (h + j)^{\frac{1}{2}} \Phi_2 - (h - j)^{\frac{1}{2}} \Phi_2$$

具体的的に以上の函数を数値積分する大前提に Fig 2 に示した各卓の singular point の有限確実値を持つが否かを検討しておけばねばならぬ。この事に因る TD, TD' に限らず論じれば虚軸上の分歧点は多個の問題であり積分値存在の議論はより得ない。実軸上の α_1, α_2 は極でもあるが Γ_1, Γ_2 の原点と共に開心で結果 原点 $S^3(0) / S^2(0)$, α_1, α_2 constant / $S^2(0)$ で辛じて正確な値の存在を確かめられ Γ_1, Γ_2 但し数値積分の際との取り扱いが大変な困難である事が §6 にある。

§4 速度と三次元の関係 (分散曲線) 結果の一覧で述べた様に波動伝播現象の中で 分散関係が ある時は条件での原型がくずれていくがこれは曲げ波形を生じる問題に於て特に顕著である。衝



質量としての問題で与えられる函数は全ての波形に対する同じ値のスペクトル分布であり、理屈的にはどうして特性で無限の波を含んでいいのか分母の効果はより一層強くなると考えた。今この分母の関係を示す曲線を得るには U, Θ の運動方程式は $U=Al, \exp[iK(y-t)]$ $\Theta=D\exp[iK(y-t)]$ を代入すると次の行列式を生ずる。ここで K は wave number

$$H_1 = i2E_0 I_0 / (pl, k_1) l_2 \quad H_2 = H_1 \beta \quad (4-1) \text{ を展開する} \quad |$$

$$C^2 = \frac{1}{2} [H_1^2 + H_2^2] \left[1 + \frac{i2}{k^2 l_1^2} (H_1) \right] \pm \frac{1}{2} \left[(H_1^2 + H_2^2) \left[1 - \frac{i2}{k^2 l_1^2} (H_2) \right]^2 - \frac{484^2}{k^2 l_1^2} \left(1 + \frac{i2}{k^2 l_1^2} (H_1) \right)^2 \right]^{1/2} \quad (4-2)$$

ケース②の鉛直荷重だけの時は (4-2) 式の任意の K に対する C を決定する二つめの関係式は生じず、逆又が生じる。 U, V, Θ の全ての変形を含んだ (1-1) ~ (1-3) 式に代入する関数曲線は $U = Al, \exp[iK(m_1 x + m_2 y - ct)]$ $V = Bl, \exp[iK(m_1 x + m_2 y - ct)]$ $\Theta = D\exp[iK(m_1 x + m_2 y - ct)]$ $m_1 = \cos \alpha$ $m_2 = \sin \alpha$ $E(1-1) \sim (1-3)$ に代入すると C の方程式が得られ、(4-1) と同じ形式の 3×3 の行列式になる。二つめは K と C が陽の数で導かれると Rayleigh 波と揚子波構造物に便宜し関数曲線を示すとしても簡単過ぎてなり (4-2) 式が最も容易ではない。

3.5 数値計算と結果の考察

(i) 数値計算 各構造部材の寸法 半方向断面 0.55×0.55 m 三方方向断面 0.5×0.6 m 半方向断面面積 0.3025 m² 三方方向断面面積 0.3 m² 密度 2.4 ton/m³ ベンダ係数 2.1×10^6 ton/m² 数値積分不等間隔 Z 各卓の値は $\alpha_1 = 1.4620$ $\alpha_2 = 10.3085$ $\alpha_3 = 3.1742$ $\alpha_4 = 10.4772$ $\beta = 2.1475$ ($\beta = \alpha_3$ 皮膜速度 / α_2 波頭速度) $e^{-\alpha_1 Z}$ オ一波頭 (回転波) $e^{-\alpha_2 Z}$ オニ波頭 (剪断波) 図 2 の周辺積分に於て $L_1 \sim L_4$ の他の記号が示していない種分区间については往路 復路で一致して零である 又 $\sim L_3$ と $\sim L_4$ 間に別々に演算し正負 同じ正数になるため $0 \sim L_4$ の区間にする。

(ii) 結果の考察 図 3 ~ 6 について 全体を通してオ一波頭卓は回りが大きさを持つという点で異なったしかし $T = 0.1 \sim 1.5$ 間で常に各図共皆変化しない。オ一波頭卓以外は時間の経過につれて 量増減はゆるくりと変形の大きさが変えていく。これは分散によって影響と見なせばそれが最大速度を持つオ一波頭はそれより小さい速度である波に干渉されない事から妥当である。これが大きな特徴といっている。そして解の精度を検討する時物理的側面についての意味付けである。但し二の更に簡して括りしている例は全く見付けられないが あれ特定の波の外荷重として与えられたば 全瞬間に亘り速度不変であるから初期時刻に示す変形が時間経過に沿し前進波 後退波という事を除外して考えるとたゞ平行移動していく事と思われる 大局的にはどうして現象と一致していると云えよう。各図共初期時刻では変形が縮れされて一つの塊のようである。初期のうちは状態は徐々に最大変位を示す波頭卓付近ではかなりの変形を生すが それから離れるに従い時間につれて変形の大きさもまた共に小さくなっていく。荷重時の初期にはデルタ函数が持つ 2 つの無数の波が分散関係に示す図 9 の各波長毎の速度で飛び出していき複雑な変化が $T = 0.5$ 位まで見て取れた。特に図 5 $T = 0.3$ については明らかに見られた。以上は図 6 の全てに共通 次に各個別に考察を述べる。図 3 図 6 が荷重に対して最も顕著な変形を示すが荷重と α には比較して 図 4, 図 5 は左右より匀配の盤の所が見られる変形の α と印象がゆるやかである。二つは図 3, 図 6 が荷重と直接的関係の変形であるのに図 4, 図 5 は荷重と二次的関係つまり達成効果とくもたらされたという量は α の偏角に比例して α である。従が

つて 図3, 図6の最大変位は第一波頭と第二波頭という点は異なつが各荷重に対応する。つまり前断荷重には前断行速度をもつ第二波頭が回転荷重には回転速度をもつ第一波頭が各々最大変位を示すのは当然の結果である。図3は第一波頭の影響のためオニミズキンには多少変化の一途ではない。図3と見つけたところでは増加していってから $T=1.5$ で減少の傾向を示すと (2)-2246 (23)-2519 (27)-2558 (21)-2606 (25) 2557 となり減少していく。図4は回転荷重作用下に於ける左右方向の変形である。初期時刻(0)変形が第一波頭 オニミズキン近傍で共に大きな傾向を持つ。従つて全体が同じで位置によらず同じである。しかし時刻を経過後には次第に第一波頭附近の変形に付す了解し易く左側二波の方の顕著になる。同じ事は図6に対しても指摘でき、結局図6を除いては大きな変形を司るのは剪断速度と持つ成分である。この事は従来 Timoshenko beam に於て定性的、定量的に論じられてゐる事と矛盾しない。これは全體の構造物に於ける直角に上り回転波の速度が剪断波のそれより大きな直と明らかにされ、且つ直角速度として明らかにしてある是も新らしい。これは格子状構造物という構体を対象としているもの出て来た事でもある。又図では判然とし難いが剪断荷重はよりもたらされた図3, 図5はオニミズキンのため大きくひらくが段差の存在する。これは矢張り剪断の回復には往々強度性である。図4, 図6では端が第一波 オニミズキンが接続されていく。

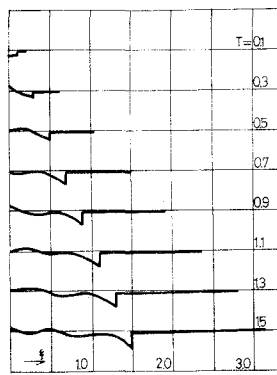


図3 剪断荷重時変形

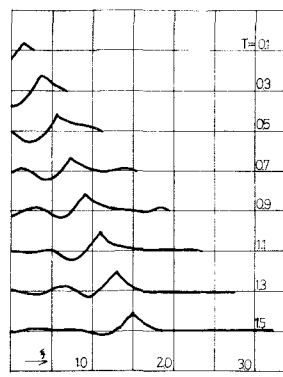


図4 回転荷重時変形

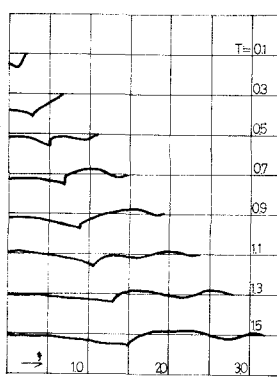


図5 剪断荷重時変形

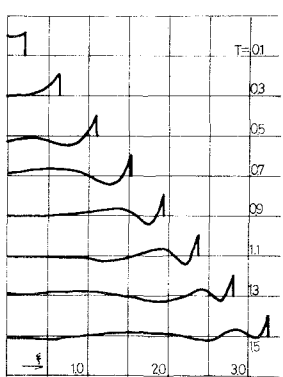


図6 回転荷重時変形

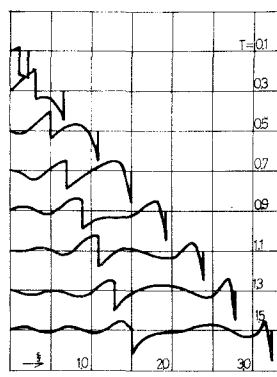


図7 回転荷重時剪断応力

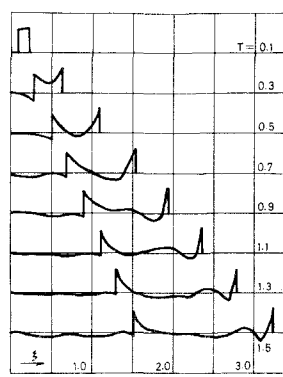
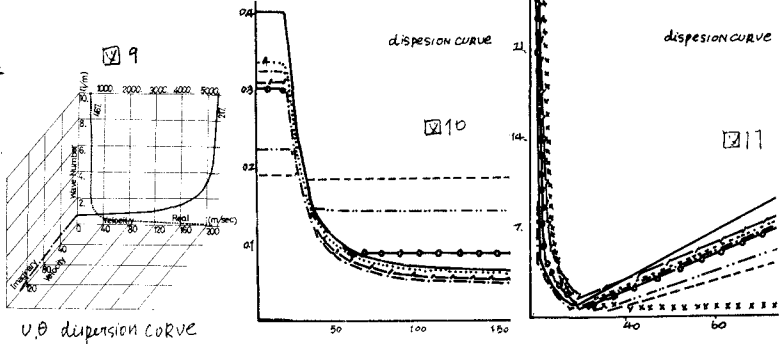


図8 剪断荷重時曲げ応力

異質である。以上を通じて輪断回転変形の波動伝播現象に於ける特性、運動を明らかにして来たがこれ等二つの異なる諸現象の三の種々の様相がちたさうであるのである。二の点に亘り分散曲線の方面から眺めて図3と図9の各曲線が v, θ dispersion curve



各々の波の速度に収束している。図9の底線部に含まれるこの問題の最大速度以上の速度については物理的に考え無理さればよい。底線部に存在するものは文献より減衰していくものであり反射波等を考慮しない時は現実的結果は全くもてない。これら図9の曲線は(3-3)(3-4)より得られた。一方分散曲線については前述した通り式(1)群からも容易に示せるのでその一部を図10, 11に表わした。ここでは入射角をピュータとして調べてしたものだが図10(左), 11(右)に示している。左が、右の図とほぼ同じもう一つがあるが省略した。それに対して図11は日に寄るものであるが図10との差は明確である。つまり図10が入射角の角度に付ける影響がかなり見られるのにに対し図11のそれは非常に鈍い。これは回転波などの他の波の物理的性質からくるものである。この分野に関する問題はまだ分明でないものがありこれ以上は言及出来ない。付け加えると分散曲線の複素空間での意味等は最近取り上げられて来たものだ。次に図7, 図8の应力図について述べる。図7が回転荷重時 剪断応力で図8が剪断荷重時曲げたび共に構成作用によるものである。第一波頭 第二波頭での立ち上がりがみられ 第一波頭応力は時刻経過にこれも不変である。その他の位置では変形状態の変化も用意しておいたためそれとの一致がある。取立て言えば図7の剪断応力、第二波頭後の応力状態は図8に比べやや大きな動きを示している。以上図3～図6、図7～図8は各々素解の形であり實際はこれを組合せとして現象的には観察された。本来応力の剪断荷重時 剪断応力及び回転荷重時 曲げ応力を当然論すべきものであるが図3、図6の各波頭の激しい勾配でよい値が得難く省いた。

3.6 数値計算による解の精度の検討

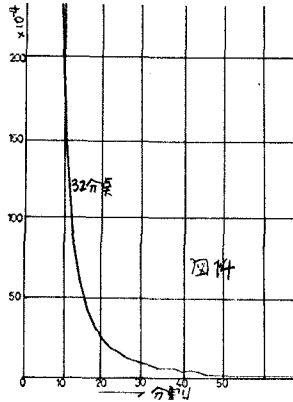
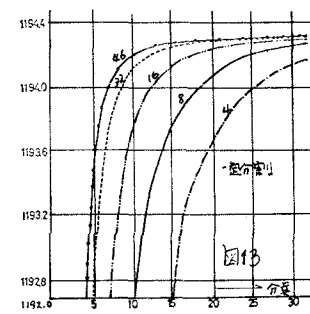
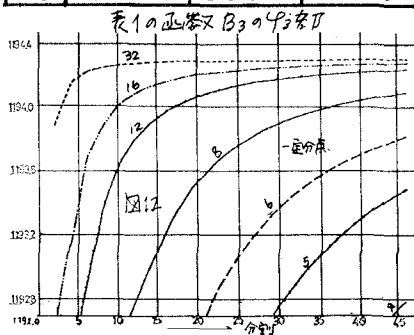
表1に示す各正数の逆変換を求める時 今までの所公式によった方法では こうした形についてはまだ求められていない。左が、1数値積分を行なう事になるのだが以下の3つの事が問題になった。
①如何な了方法を用いるか一般的には代表的な等間隔法と不等間隔法の2種で各々 SIMPSON と GAUSS がある。その決定の point には3のは所要時間と精度の二点だが普通特に前者が大切である。この問題では函数の数が多い事と各所割合をステップにし一回面に3平面の図2の区域で定積分するので演算時間の割合は大である。
②前述した様に区间 $L_1 + L_1 + L_2 + L_2$ の区間に對し singular point x_1, x_2 の奥で見かけ上強い発散の性質が与られる。積分の存在はすでに確認されたに記述の実際の値を得るに当りこの処理をどうすべきかが難かしい。
③最も重要な点は数学的問題としての①②のTとを解決しても出てきただけで物理的倒面から合理的であると断定できるのか。つまり別の表現をすれば運動方程式(1)群が正しいかどうかという事である。
④に実しては両方法を使用して比較すると演算時間がはじめからガウスの分段数を特徴的に指定する比圧倒的に速い事がわかり容易

である。勿論同程度の精度を得るという条件下である。しかしガウス法は不等間隔差であるから積分区间をいくつに区分して行うとは 分区数を増すのとは意味が違い 結局適当な分区数と分割数の組合せによつて精度のよい解が得られる。図12は一定の分区数に対して分割数を増した時 図13は一定の分割数で分区数を増したものである。分区数の値 P_1 と分割数の値 P_2 の時 $P_1 \times P_2 = \text{const}$ の条件下では $P_1 > P_2$ とした方が高精度である事が図12、13の意味である。これは次の使用目的をより丁寧に行なうに於ける B_3 の分子、分母から発散因子を消去した β_3 部分である。②について α_1, α_2 の二点近傍で $\int_{x_1-x_2}^{x_1} \frac{\text{const}}{s^{\alpha_1} s^{\alpha_2}} ds = [\sqrt{s} \text{const}]_{x_1-x_2}^{x_1}$ の式が成立するがこの式をどう決定するかという事に結局は $x_1-x_2=0$ を出来ず限り行なう時の全積分区間に于ける誤差を如何にする事。二の際近似値の代用の他に x_1-x_2 の値の微少区间で下ばかり面積計算と check として行う。①②についてこの方針に基づいていながらどの位の精度に抑えられるかという事にならば③との関連により明確になる。得られた解の妥当性を、こうして問題に対する別解がない今、どうするかについて試行錯誤を重ねた結果前述の所にある様に第一波頭東が全変形域で分区数に不動である事が point と判明した。しかし表2でわかるが第一波頭変形表示各分区数(表1の $L_1+L_2+L_3+L_4$ 例)は時刻のステップを増すにつれ增加分区数でかつ発散の性質を見かけ上では有していないものであるから表2の波頭東位置の変形値を完全に不变とは解がいいが第一波頭東も中程度である。つまり図12の積分区が本例には3段で採用され取りもなすく波頭東が 10^{-15} となる値でもあり数学的侧面と物理的侧面の二点が一致している。図13は図12の32分区の時 値の変化の差を 10^{-15} としたものであり同じ性質である。付加加えと表1の $L_3+L_4+L_5+L_6$ の分区は数値積分区の誤差が全分区間に於ける分区数分割数のいずれに対しても常に同一定値となる。表2の値は上述 $\epsilon = 10^{-15}$ の時のものである。まとめるとこの問題では角の積分区第一波頭東の変形不变であるといつ物理的裏付けにより解の合理性、数値計算に伴う誤差の check を行ない良好な解を得た。

表2 B_3 カーブ波頭東

T	$L_1+L_2+L_3+L_4$	$L_1+L_2+L_3$	$L_1+L_2+L_3+L_4$	$L_1+L_2+L_3$
0.1	3.4109	3.0-0.3885	3.0-3.0224	0.0000
0.3	13.1955	-2.4484	-10.7512	0.0000
0.5	29.2366	-9.3557	-19.8809	0.0000
0.7	36.9641	-11.1261	-25.8379	0.0001
0.9	45.9558	-93.4393	47.4833	0.0002
1.1	-473.7067	-15.2648	488.9720	0.0005
1.3	-1730.4899	307.6213	1422.8705	0.0019
1.5	-3910.8341	1519.9216	2390.9192	0.0068

T	$L_1+L_2+L_3+L_4$	$L_1+L_2+L_3$	$L_1+L_2+L_3+L_4$	$L_1+L_2+L_3$
0.1	2.5581	(3.0) 0.5502	(3.0) 0.1651	3.3733
0.3	-0.3641	1.7553	1.9821	3.3733
0.5	-10.3063	5.1778	8.5018	3.3733
0.7	-34.0067	11.8459	25.5329	3.3731
0.9	-68.8157	17.3656	54.8226	3.3726
1.1	-47.0651	-6.4309	56.8669	3.3709
1.3	320.5384	-151.6569	-165.5229	3.3586
1.5	1803.7247	-606.1203	-1194.2995	3.3048



(1) Renton, J.O. A Finite Difference Analysis of Flexural Torsional Behavior of Girders IJMS 1964

(2) Constantino C.T. Finite Element Approach to Stochastic Wave Problem J. Eng Mech Div 1967

(3) 青柳和郎 予測力学における三次元弹性理論の数値解析工学論文集 1972, 10 (4) 不平田 1970 年度建築学会技術講演集